

كلية العلوم

القسم : الفيزياء

السنة : الرابعة



٩



المادة : حالة صلبة ٢

المحاضرة : السابعة/نظري /

{{{ A to Z مكتبة }}}
مكتبة A to Z

2025 2024

Facebook Group : A to Z مكتبة

كلية العلوم ، كلية الصيدلة ، الهندسة التقنية

يمكنكم طلب المحاضرات برسالة نصية (SMS) أو عبر (What's app-Telegram) على الرقم 0931497960



المواد العازلة

Dielectrics

مقدمة: ماذا يحدث لدى تطبيق حقل كهربائي بين طرفي عازل؟، للوهلة الأولى يمكن أن نتوقع أن لا شيئاً مهماً قد يحدث في العازل لعدم تدفق تيار كهربائي فيه، غير أن ثمة ظواهر أخرى جديرة بالاهتمام تظهر هنا؛

كالاستقطاب الكهربائي الذي يسمى الاستقطاب العازلي *Dielectric Polarization*ومفعول الضغط الكهربائي *Piezoelectric Effect*.

إن تأثيرات الحقول المغناطيسية مع الأجسام الصلبة تكون ضعيفة جداً في معظم الأحيان (باستثناء تأثيرها على المواد الفرومغناطيسية)، أمّا من أجل الحقل الكهربائي، فالامر مختلف. فتأثير المادة مع الموجات الكهرومغناطيسية يُبسطُ كثيراً، لأنَّه بمقدورنا إهمال الجزء المغناطيسى من التأثير في معظم الأحيان لاسيما عند وصف البارامغناطيسية والدایامغناطيسية (ولكن ليس عند وصف الفرومغناطيسية). ولكن من جهة أخرى، يُصبح حساب الحقل الكهربائي داخل عازل صعباً، لأنه يجب أن نأخذ بالحسبان ليس الحقل الخارجي وحسب، بل الحقل الناتج من استقطاب الجسم الصلب نفسه أيضاً.

9- الوصف الماקרוسكوبى *Macroscopic Description*:

إنَّ الوصف الماקרוسكوبى لمقاييس العازلية *Dielectric Effects* مشابهٌ للوصف الماקרוسكوبى للمغناطيسية، ولكن ليس نفسه تماماً. وللقيام بهذا الوصف نبدأ ببعض التعريفات:

→ إن وجود حقل كهربائي، \vec{E} في جسم عازل، يُسبب استقطاباً عازلياً، \vec{P} ، لهذا الجسم، يأخذ الشكل الآتى:

$$\vec{P} = \chi_e \epsilon_0 \vec{E}, \quad (1-9)$$

حيث χ_e الطوعية الكهربائية *Electric Susceptibility*، و $\epsilon_0 = 8.854 \times 10^{-12} \text{ C}^2 \text{J}^{-1} \text{m}^{-1}$ سماحة الخلاء للحقل الكهربائي *Vacuum-Permittivity* (لا شيء في الخلاء يمكن أن يستقطب ولذلك $\chi_e = 0$).

→ ينشأ الاستقطاب بصورة رئيسة من اصطفاف (ثنائيات-قطب) كهربائية مجهرية موجودة أصلاً أو تحرست بالحقل المطبق. نكتب علاقة عزوم (ثنائيات-قطب) الكهربائية المجهرية بالشكل الآتى:

$$\vec{p} = q \vec{\delta}$$

حيث q قيمة الشحنات الكهربائية و $\vec{\delta}$ متجه الإزاحة فيما بينها.

يُعين المتجه $\vec{\delta}$ من أجل (ثنائيات-قطب) كهربائية عادةً من الشحنة السالبة إلى الشحنة الموجبة. وعندما يمكن التعبير عن الاستقطاب الماקרוسكوبى بدالة (ثنائيات-قطب) المجهرية بالشكل

$$\vec{P} = \frac{N}{V} \vec{p} = \frac{N}{V} q \vec{\delta}. \quad (2-9)$$

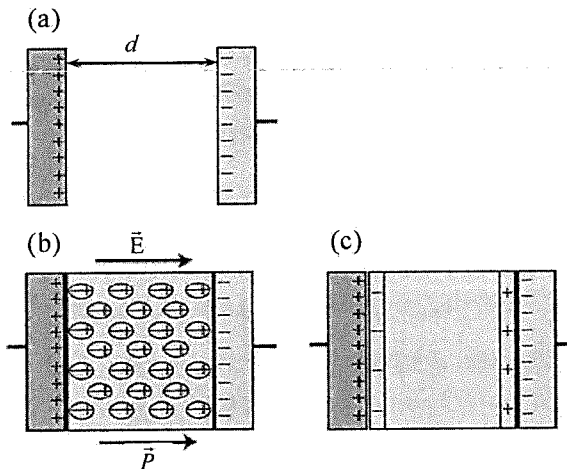
يتضح من العلاقة الأخيرة أن الكمية \vec{P} تملك أبعاد كثافة شحنة سطحية C/cm^2 .

→ إن ثابت المادة الذي يرتبط بقوة بالطوعية الكهربائية، χ_e ، هو سماحة المادة النسبية للحقل الكهربائي أو ما يسمى بثابت عازليتها *Dielectric Constant*، ϵ ، الذي يعطى بالعلاقة

$$\chi_e = \epsilon - 1. \quad (3-9)$$

بهذه الطريقة، تُعين χ_e و ϵ (ليس لهما وحدات قياس). عند التعامل مع الخصائص العازلية للأجسام الصلبة، يُشيع استخدام ϵ لوصف استقطاب المادة أكثر بكثير من استخدام χ_e .

تُمثّل العلاقة الخطية (1-9)، $\bar{E} = \epsilon_0 \chi \bar{P}$ ، كما في حالة المغناطيسية، حداً للحقول الضعيفة. والمشكلة هنا تكمن في أن التأثير الكهربائي مع المادة ليس ضعيفاً بالضرورة وتصادف عادةً مفاعيل غير خطية عند تطبيق حقول كهربائية قوية، تصدر من ضوء ليزر على سبيل المثال؛ وهذا مجال بحثٍ مثيرٍ جداً لاهتمام في خذ ذاته، ولكننا لا نناشه هنا.



الشكل (1-9): مكثفة مستوية: (a) وجود شحنات على صفيحتي المكثفة بدون وجود مادة عازلة بينهما.

(b) استقطاب المادة العازلة بين الصفيحتين.

(c) يمكن الفعل المحتمل للاستقطاب في وجود كثافات شحنة سطحية على المادة العازلة عند السطح الفاصل الصفيحة والمادة العازلة.

الماكروسکوبی \bar{P} ، الذي يمكن تحويله منبثقاً من (ثنائيات- قطب) كهربائية صغيرة مجهرية بكثافة عالية جداً، كما يوضح الشكل (1b-9).

إن الفعل الأكثر أهمية لثنائيات- القطب هذه يكمن في أنها تؤدي إلى ظهور كثافة شحنة سطحية إجمالية في مكان التقاء المادة العازلة مع الصفيحتين، كما يوضح الشكل (1c-9).

→ فعندما نأخذ ذلك بالحسين نجد الحقل الكهربائي الإجمالي الوسطي $A/\epsilon_0 d$ في المكثفة يساوي

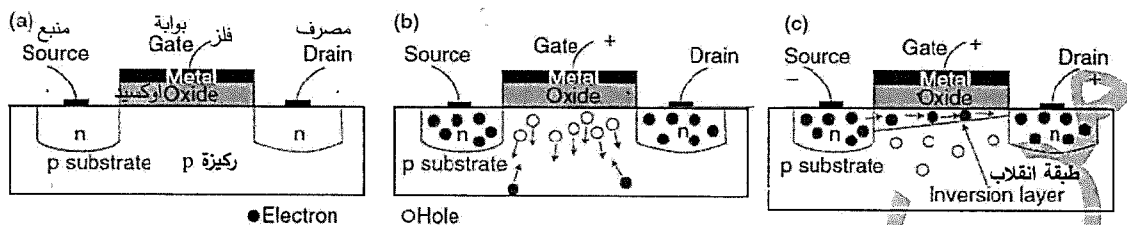
$$C = \frac{A \epsilon_0}{d} \quad \text{ثم إن} \quad |\bar{E}| = \frac{\sigma - |\bar{P}|}{\epsilon_0} = \frac{\sigma}{\epsilon \epsilon_0}$$

→ أي أن الحقل الكلي الوسطي ينخفض بمقدار العامل ϵ ، وخلافاً لذلك، تزداد سعة المكثفة بمقدار العامل ϵ ذاته؛

→ يُستخدم هذا الحساب عادةً في تعين ϵ تجريبياً.

لدرس الترانزستور الحقلاني من نوع (الفلز- أكسيد- نصف ناقل) MOSFET المبين في الشكل (13-7):

- تقوم طبقة الأكسيد الواقعة تحت البوابة مقام المادة العازلة في مكثفة مستوية الصفيحتين؛
- يجب أن تكون هذه المكثفة قادرة على تخزين شحنة كهربائية كافية لجعل الـ MOSFET يعمل (من دون الحاجة إلى تطبيق جهد بوابة كبير جداً)، أي يجب أن يمتلك سعة كبيرة بشكلٍ معقول.



فالهدف التكنولوجي يكمن في تصميم وتكوين ترانزستورات أصغر من أي وقت مضى، والمسألة هنا محلولة في

هذا الإطار: فالسعة هي $C = A \in_0 / d$ ، حيث \in_0 ثابت العازلية لأخيد البوابة SiO_2 ؛

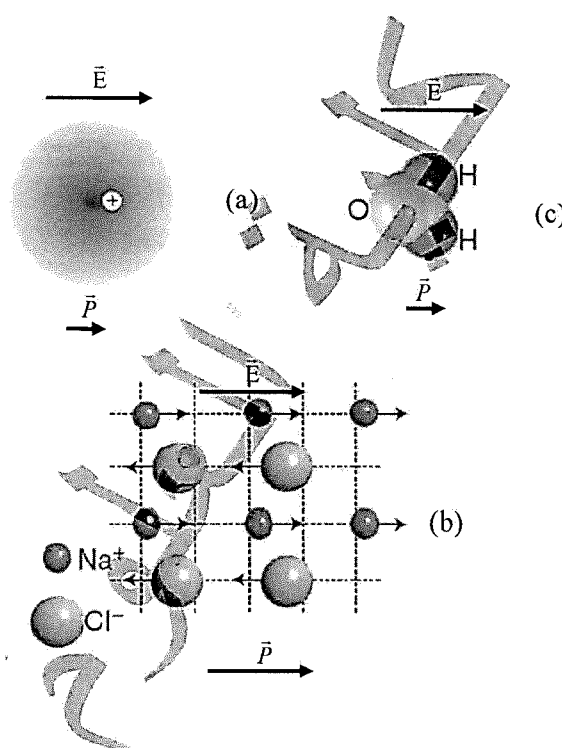
ولكن بتحفيض المساحة A ، تنخفض السعة C أيضاً.

→ يمكن تعويض ذلك عبر تقليل سماكة d طبقة الأكسيد وهذا ما فعلته صناعة المواد الصلبة النصف الناقلة خلال الثلاثين عاماً الأخيرة.

→ غير أن ذلك لم يعد قائماً بسبب وصول السماكة d إلى حدتها الأدنى (بضعة نانومترات)؛

→ ومن أجل طبقة أكسيد أكثر رقة تصبح الفلم الرقيق "راشحاً" Leaky بسبب ظاهرة العبور بالتفوّق Tunneling.

→ ولذلك، فإن مجال البحث الجاري الان يكمن في إيجاد مادة بثابت عازلية \in أكبر بكثير مما هو عليه من أجل SiO_2 لكي تعمل بمثابة أكسيد البوابة؛ وعندها يمكن المحافظة على نفس السعة من دون الحاجة إلى أكسيد بوابة بسماكة رقيقة جداً.



الشكل (9-2): آليات تؤدي لاستقطاب كهربائي مجاهي.

(a) الحقل الكهربائي يقطب كل الذرات في الجسم الصلب.

(b) يمكن للشبكة البلورية في الأجسام الصلبة الأيونية؛

مثل NaCl أن تستقطب مؤديةً إلى ثباتيات قطب موضعية.

الشبكة المتقاطعة تحدد موقع الأيونات بدون حقل مطبق.

(c) إذا وجدت ثباتيات- قطب دائمة في الجسم الصلب

وكان حركة الدوران، فإنها توجه نفسها بشكل موازي للحقل.

يُعدُّ جزيء الماء بمثابة مثال، على جزيء ثباتي قطب دائم.

9-2 الاستقطاب الميكروسكوبى :Microscopic Polarization

يوجد عدد من الآليات التي تسبب وجود عزوم ثانويات - قطب كهربائية مجهرية تؤدي لاستقطاب جهوي، والشكل (2-9) يوضح هذه الآليات:

فالشكل (2a-9) يوضح آلية أولى تُدعى في حقيقة الأمر مفعولاً ذرياً ومرتبطة قليلاً بوضع الذرات في الجسم الصلب. إن التمازن الكروي لذرة ما يرتفع بوجود الحقل الكهربائي، والشحنات السالبة والموجبة تترافق بالنسبة لبعضها البعض مما يؤدي لظهور ثانوي - قطب كهربائي عزم:

$$\vec{P} = \alpha \vec{E}, \quad (4-9)$$

حيث α الاستقطابية الذرية (قابلية الذرة للاستقطاب) *Atomic Polarizability*.

→ يسمى هذا المفعول الذري استقطاباً إلكترونياً *Electronic Polariziton*

→ وبالطبع هو موجود في جميع الأجسام الصلبة.

■ آلية الاستقطاب الثانية مرتبطة بالأجسام الصلبة الأيونية حيث يحدث شيء ما مشابه جداً لما يحدث على مستوى التدريج الأكبر من مستوى التدريج في الآلية الأولى، كما يوضح الشكل (9-2b):

→ فالشبكة البلورية في حد ذاتها تُستقطب في الحقل الكهربائي، لأن الأيونات الموجبة تترافق في اتجاه الحقل الخارجي والأيونات السالبة في الاتجاه المعاكس له؛ يسمى هذا المفعول استقطاباً أيونياً.

■ وأخيراً، ثمة إمكانية (ثنائيات - قطب) موجودة أصلاً في المادة لأن تدور في الحقل الكهربائي: يمكن لثنائيات - القطب الدائمة هذه أن تكون جزيئات؛ كالماء H_2O وحمض كلور الماء HCl . تسمى آلية الاستقطاب هذه استقطاباً اتجاهياً (زاوياً) *Orientational*.

ولكن من الشائع وجود هذا النوع من الاستقطاب في السوائل أو الغازات أكثر من وجوده في الأجسام الصلبة، بسبب ضرورة أن تكون (ثنائيات - القطب) حرة الدوران.

وإذا ما تذكرنا العلقتين (9-1) و (9-3) دوماً، فيمكن القول إن وجود الآليات استقطاب مختلفة سيؤدي إلى تحصيل ثوابت عازلية، ϵ ، مختلفة. يتعرض الجدول 9-1 قيم ϵ من أجل عدد من المواد

الجدول 9-1: ثابت العازلية ϵ من أجل بعض المواد المختارة في درجة حرارة الغرفة

ثابت العازلية	اسم العازلة	ثابت العازلية	اسم المادة	ثابت العازلية	اسم المادة
6.1	NaCl	5.7	اللماض	1	الخلاء
350	SrTiO ₃	11.7	Si	1.000573 ¹	الهواء
25.8	الإيتانول (السائل)	3.9	SiO ₂	2.5-3.5	المطاط
81.1	الماء (السائل)	10.2	CdSe	5-10	الزجاج

❖ يتصف الهواء في الشروط النظامية بثابت عزل قريب من الواحد (الطوعية الكهربائية قريبة من الصفر)، لأن كثافة الهواء ببساطة منخفضة جداً.

❖ ثابت العازلية من أجل الأجسام الصلبة أكبر من ذلك بكثير؛ فمن أجل بلورات تتصف باستقطاب أيوني (كلورات NaCl وتيتانات السترونتيوم SrTiO₃) يكون ثابت العازلية أكبر منه بكثير من أجل تلك البلورات التي

¹ في الدرجة 283 K والضغط 1013 hPa

لا تتصف إلا باستقطاب إلكتروني (كالألماس)، ولكن هذا الكلام ليس دوماً صحيحاً. فبلورة NaCl التي تتصرف باستقطاب أيوني تمتلك ثابت العازلية، ϵ ، قريب جداً من ثابت العازلية للألماس، في حين إن قيمته أكبر من ذلك بكثير من أجل Al_2O_3 .

إن الآليات المجهريّة لاستقطاب الجسم الصلب تذكرنا بعض الشيء بالآليات المؤدية إلى تمعنطها، غير أنه يوجد اختلاف مهم هنا؛ فكل الآليات الموصوفة أعلاه تؤدي إلى استقطاب في اتجاه الحقل الخارجي أي تؤدي إلى سلوك بارا-كهربائي "Para-electric" ولا تؤدي إلى سلوك دايه-كهربائي "Dia-electric".

9-3 الحقل الموضعي : The local Field

للفرض أن ثابت العازلية، ϵ ، لجسم صلب متبلور ما معلوم ونريد حساب الاستقطابية المجهريّة، α ، للذرات المولفة له، على فرض عدم وجود آليات استقطاب أخرى. يمكننا استعمال العلاقات (4-9) - (1-9) لكتابة العلاقة الآتية:

$$\vec{P} = \underbrace{(\epsilon - 1)}_{\alpha} \epsilon_0 \vec{E} = \frac{N}{V} \vec{p} = \frac{N}{V} \alpha \vec{E}, \quad (5-9)$$

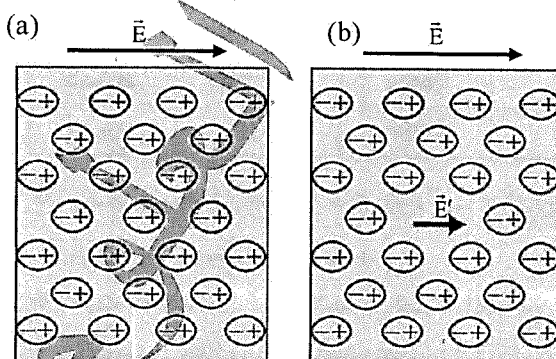
حيث \vec{E} الحقل الكهربائي الوسطي في المادة العازلة أي مجموع الحقل الخارجي والحقن الداخلي الوسطي الناتج من الاستقطاب. إذن، في حالة مادة عازلة موجودة داخل مكثفة مستوى الصفيحتين، يكون \vec{E} هو هذا الحقل؛ وهو الحقل الخارجي المختزل بمقدار العامل ϵ . وبإعادة ترتيب العلاقة (5-9) نحصل على العلاقة المطلوبة الآتية:

$$\alpha = \frac{(\epsilon - 1) \epsilon_0 V}{N}. \quad (6-9)$$

لسوء الحظ هذا ليس صحيحاً، لأن ثانوي - القطب المجهري في الجسم الصلب لا يشعر بالحقن الوسطي، \vec{E} ، وإنما بالحقن الموضعي Local Field الموجود في موقعه، \vec{E}_{loc} ، ويمكن أن يكون ذلك مختلفاً تماماً. يمكننا تخيل هذا الحقن الموضعي باقتطاع ثانوي - القطب المدروس وفحص تأثير كل الشحنات الأخرى الموجودة في جواره، وهذا ما يوضحه الشكل (3-9). فتأثير ثانويات - القطب المجاورة يؤدي إلى حقل إضافي، \vec{E}' ، يوازي اتجاهه اتجاه الحقن الوسطي، أي أن الحقن الموضعي الذي شعر به كل ثانوي - قطب أقوى من الحقن الوسطي في الجسم الصلب المدروس. لن نستنتاج شدة الحقن الموضعي هنا²، ونقبل بالنتيجة الآتية كما هي

$$\vec{E}_{loc} = \frac{1}{3} (\epsilon + 2) \vec{E}, \quad (7-9)$$

بحيث نحصل على العلاقة



الشكل (3-9): الحقن الموضعي المؤثر في وحدات مجهرية قابلة للاستقطاب. (a) ثانويات قطب مجهرية في مادة عازلة موجودة في حقل خارجي. الحقن الكهربائي \vec{E} هو الحقن الداخلي الوسطي في المادة العازلة. (b) الحقن الموضعي الذي يتزعم لكل (ثانوي قطب) بمفرده ليس \vec{E} تماماً وإنما $\vec{E} + \vec{E}'$ لأن الشحنات المجاورة تؤدي إلى ازدياد الحقن.

² لاستاجها راجع مقرر الكهرباء والمتغريسيّة

$$\tilde{P} = \frac{N}{V} \alpha \tilde{E}_{loc} = \frac{N\alpha}{3V} (\in +2) \tilde{E}. \quad (8-9)$$

ومن جهة أخرى، لدينا العلاقة (8-9)، مع العلاقة (3-9)، $\chi_e = \in_0 \tilde{E} = \chi_e \in_0 \tilde{E}$ ، أو الطرف الأيسر من العلاقة (5-9)؛ كعلاقة من أجل \tilde{P} ، وبمساواتهما مع بعضهما البعض نحصل على المساواة:

$$\tilde{P} = \frac{N\alpha}{3V} (\in +2) \tilde{E} = \chi_e \in_0 \tilde{E} = (\in -1) \in_0 \tilde{E},$$

ومن ثم نحصل على ما يسمى بعلاقة كلاوزيوس-موسوتي *Clausius-Mossotti Relation* الآتية، وهي تربط الاستقطابية الذرية بثابت العازلية:

$$\alpha = \frac{\in - 1}{\in + 2} \frac{3 \in_0 V}{N}. \quad (9-9)$$

يمكن التحقق من هذه العلاقة بأفضل طريقة من أجل الغازات حيث يمكن للكثافة أن تتغير.

4-9 التابعية التوافرية لثابت العازلية Frequency Dependency of the Dielectric Constant

4-4-9 تهيج اهتزازات الشبكة البلورية Excitation of Lattice Vibrations

لقد درسنا إلى الآن السلوك الكهرباسكين فقط. ولكن الأكثر إثارة للاهتمام هو السلوك الديناميكي للحقول المتغيرة مع الزمن، وعلى وجه الخصوص، في مجال التوافر (الترددات) البصرية. نعلم من البصريات أن \in ، في الواقع عدد عقدي³، وقد تعرّضنا في نموذج درودي للتابعية التردية $L =$ ، حيث وجدنا أن بمقدور ذلك أن يُغيّر، لماذا تُصبح الفلزات شفافة للضوء ذي الترددات الأعلى من تردد البلازما، ω . تسمى (التابعية-التردية) (ω) عادةً **تابع العازلية Dielectric Function**.

وجد أيضاً من أجل العوازل أن التابع $(\omega) =$ عقدي ومرتبط بالتردد وأنه يمكن نقل الطاقة التي يحملها الضوء إلى الجسم الصلب الموس تجاوياً عند بعض الترددات. إن التابعية التردية $L =$ تستوجب تابعية تردية لقرينة الانكسار، N ، وهذا فعل يُعرف جيداً بظاهرة التبدد في المواد البصرية؛ كالزجاج.

إن كل أنواع الاستقطاب المجهري في الحقل الكهربائي الساكن مهمة:

→ الاستقطاب الإلكتروني،

→ والاستقطاب الأيوني

→ والاستقطاب الاتجاهي

• ومن جهة أخرى، عند الترددات العالية

جداً تتحرك الأيونات ببطء شديد لدرجة لا تستطيع عندها مواكبة تغيرات الحقل الكهربائي، حتى أن دوران ثانويات-

القطب الدائمة يكون أبطأ منها؛ وذلك، يبقى الاستقطاب الإلكتروني السريع جداً فقط، ومن ثم الاستقطاب الإجمالي للجسم الصلب يتلاقص كثيراً.

³ من أجل المواد المتاحية، \in ليست كمية سلبية حتى، وإنما تتسرّع عقدي من الدرجة الثانية. نهمل هنا كما في أي كتاب آخر مفعول عدم ثيئل المناخي، ما لم تكن هناك ضرورة ملحة من أجل ظاهرة بحد ذاتها.

وبطبيعة الحال، ستكون الاستقطابية (ω) عند الترددات العالية أقل منها في حالة الحقل الكهروساكن.

- لدينا في حالة الاستقطاب الأيوني تصور جيد عن الفوائل الزمنية، حيث رأينا، أن تردد اهتزازات الشبكة البلورية من رتبة $10^{13} \text{ Hz} = 10 \text{ THz}$ ؛ ولذلك، من أجل الترددات البصرية ($10^{15} \text{ Hz} \approx 0^{14}$)، لن تكون أيونات الشبكة البلورية قادرة على مواكبة الحقل على الإطلاق. وما يؤكد ذلك، المعطيات التي يوضحها الجدول 9-2 حيث يحوي ω الكهروساكنة و ω البصرية من أجل مواد مختلفة؛ ω الساكنة أكبر بشكل ملحوظ من ω البصرية، ما عدا حالة الألماس التي من أجلها الاستقطاب الإلكتروني فقط يمكن أن يؤدي دوراً.

يمكنا وصف التابعية التردودية L بشكل كمّي أكثر من أجل نموذج بسيط ولكنه معبر جداً.

لقد ناقشنا سابقاً أنه بمقدور الضوء الاقتران فقط مع فوونات بصرية بالقرب جداً من مركز منطقة بريلوان عند $\bar{k} = 0$. توافق هذه الفوونات اهتزازات الأيونات الموجبة والسلبية المختلفة بالطور في وحدة الخلية، والمتفقة بالطور فيما بين وحدات الخلية. بهذا الشكل، يُعَدُّ اهتزاز \bar{k} ، الاهتزاز المناسب الوحد من أجل التأثير مع الضوء، ولذلك نقارب البلورة بهتزازات توافقية مستقلة؛ أي بهتزاز بصري واحد في كل وحدة الخلية.

- فكل هتزاز سينقاد بحقل خارجي من الشكل $E_0 \exp(-i\omega t)$ ويمثل تردد تجاوب $\omega_0 = \sqrt{2\gamma/M}$ ، حيث γ ثابت القوة و M الكتلة المختزلة لجملة الأيونين.

تدخل أيضاً في معادلة الحركة حد التخادم، $\eta dx/dt$ ، الذي يُعَدُّ متناسباً طردياً مع السرعة، أي مع المعدل الذي تتغير وفق المسافة الذرية. يمكن المعنى الفيزيائي لذلك في أنه إذا أصبحت هذه الحركة الخاصة قوية جداً، فمن المرجح أنها ستنهي اهتزازات أخرى، فتخادم الحركة على أثر ذلك.

- إذن، معادلة الحركة الناتجة تخص هتزازاً توافقياً متحادماً وقسرياً وتأخذ الشكل الآتي:

$$\frac{d^2x}{dt^2} + \eta \frac{dx}{dt} + \omega_0^2 x = \frac{e E_0}{M} \exp(-i\omega t). \quad (10-9)$$

لاحظ أن هذه الحالة مشابهة لمسألة إلكترون حر في حقل خارجي حيث كان لدينا معادلة الحركة (5-22) التي لا تحوي لا قوة إرجاع ولا تخادم. نعرض، كما في تلك الحالة، عن الحل

$$x(t) = A \exp(-i\omega t), \quad (11-9)$$

ومشتقاته:

$$\begin{aligned} \dot{x}(t) &= -i\omega A \exp(-i\omega t); \\ x''(t) &= -\omega^2 A \exp(-i\omega t) \end{aligned}$$

في معادلة الحركة (10-9) فنحصل على علاقة من أجل المطال A من الشكل الآتي:

$$-\omega^2 A - i\eta\omega A + \omega_0^2 A = \frac{e E_0}{M}$$

ومن ثم

$$A = \frac{e E_0}{M} \frac{1}{(\omega_0^2 - \omega^2) - i\eta\omega}. \quad (12-9)$$

ستكون العلاقة الأخيرة مفيدة لتجزئة المطال A إلى إلى قسمين؛ حقيقي وتخيلي، من خلال ضرب بسط ومقام الكسر بالمرافق العقدي للمقام:

$$A = \frac{eE_0}{M} \left(\frac{\omega_0^2 - \omega^2}{(\omega_0^2 - \omega^2)^2 + \eta^2 \omega^2} + \frac{i\eta\omega}{(\omega_0^2 - \omega^2)^2 + \eta^2 \omega^2} \right). \quad (13-9)$$

→ سيترافق اهتزاز الأيونات باستقطاب أيوني، من الشكل $eA \exp(-i\omega t)$ ، من أجل كل وحدة خلية.

→ وببناء عليه يمكننا حساب الاستقطاب الكلي من أجل بلورة بـ N وحدة خلية وحجم V .

→ ندرس إلى جانب الاستقطاب الأيوني، $(P_i(t))$ ، الاستقطاب الإلكتروني للأيونات، $(P_e(t))$ ، حيث نحصل على علاقة الاستقطاب الإجمالي الآتية:

$$\begin{aligned} P(t) &= P_i(t) + P_e(t) \\ &= \frac{N}{V} eA \exp(-i\omega t) + \frac{N}{V} \alpha E_0 \exp(-i\omega t). \end{aligned} \quad (14-9)$$

لقد افترضنا، بغير التبسيط، وجود نوع واحد فقط من الأيونات بكتافة N/V واستقطابية ذرية فعالة، α . يمكننا من خلال تعريف مناسب لـ α ، أن نأخذ بالحسبان النوعين المختلفين للأيونات في البلورة واستقطابهما المختلفين. بمقدورنا الآن حساب تابع العازلية:

$$\epsilon = \frac{P(t)}{\epsilon_0 E_0 \exp(-i\omega t)} + 1 = \frac{NeA}{V \epsilon_0 E_0} + \frac{N\alpha}{V \epsilon_0} + 1. \quad (15-9)$$

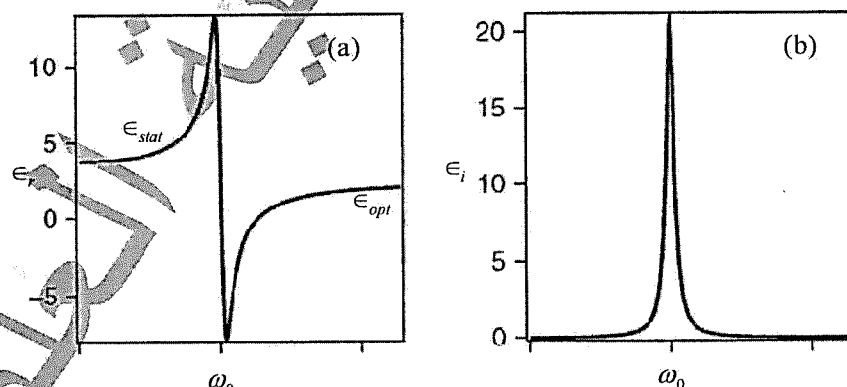
نعلم أن $P_i = 0$ ، عند الترددات العالية كافية، ولذلك يجب أن يوافق الحد البصري ϵ_{opt} المساواة

$$\epsilon_{opt} = \frac{N\alpha}{V \epsilon_0} + 1, \quad (16-9)$$

ومن ثم

$$\epsilon(\omega) = \frac{NeA}{V \epsilon_0 E_0} + \epsilon_{opt}. \quad (17-9)$$

بالتقديم عن A من العلاقة (13-9) في المعادلة الأخيرة نحصل على العلاقة النهائية من أجل تابع العازلية، $\epsilon(\omega) = \epsilon_r(\omega) + i\epsilon_i(\omega)$ ، بقسميه الحقيقي والتخيلي، كما يأتي:



الشكل (4-9): تابع العازلية من أجل هرّاز تواقي قسري متخدم بجوار ترد التجاوب ω_0 .

(a) القسم الحقيقي. (b) القسم التخيلي ϵ_i .

يرمز ϵ_{stat} و ω_0 لقيمة الساكنة والبصري للقسم الحقيقي ϵ_r على الترتيب.

$$\epsilon_r(\omega) = \frac{Ne^2}{V \epsilon_0 M} \frac{\omega_0^2 - \omega^2}{(\omega_0^2 - \omega^2)^2 + \eta^2 \omega^2} + \epsilon_{opt}. \quad (18-9)$$

$$\epsilon_r(\omega) = \frac{Ne^2}{V \epsilon_0 M} \frac{\eta \omega}{(\omega_0^2 - \omega^2)^2 + \eta^2 \omega^2}. \quad (19-9)$$

يوضح الشكل (4-9) رسمًا تخطيطيًّا لكلاً قسمٍ تابع العازلة، (ω) :

- القسم الحقيقي $\epsilon_r(\omega)$ ثابت تقريبًا عندما يكون التردد بعيدًا عن ω_0 (سواءً أخفض بكثير أو أعلى بكثير)، ولكن قيمته عند الترددات المنخفضة أعلى من قيمته عند الترددات المرتفعة (لماذا؟ انظر السبب!)؛
- أما القسم التخييلي $\eta(\omega)$ فيساوي الصفر تقريبًا من أجل كل الترددات ما عدا في الجوار المباشر للتردد ω_0 حيث يُنادي قمة Pick بعرضٍ يعطى وسطيًّا بـ η .

ماذا تعني الكمية ϵ_r ? لمعرفة ذلك، ندرس تبدد (ضياع) الطاقة في المنظومة المهترئة: الاستطاعة الكهربائية الآتية المتبددة في وحدة الحجم تُعطى بالعلاقة:

$$p(t) = j(t) E(t), \quad (20-9)$$

حيث $j(t)$ كثافة التيار المتناوب (AC) و $E(t)$ الحقل الكهربائي.⁴ وكالعادة نكتب $E(t) = E_0 \exp(-i\omega t)$ ؛ في البلورات العازلة لا توجد تيارات حرة ومن جهة أخرى نفرض عدم وجود حقول مغناطيسية؛ فالتيازات الوحيدة الموجودة فيها هي تيارات الاستقطاب؛ وعندما نطبق قانون أمبير على المادة المدروسة فنحصل على المعادلة الآتية:

$$j(t) = -\frac{\partial D}{\partial t} = -\frac{\partial}{\partial t} \epsilon_r \epsilon_0 E(t) = \epsilon_r E(t) (i\omega \in_r -\omega \in_i). \quad (21-9)$$

يمكن الآن حساب الاستطاعة الوسطية المتبددة في دورة واحدة بالعلاقة الآتية:

$$\bar{p} = \frac{1}{T} \int_0^T E(t) j(t) dt, \quad (22-9)$$

حيث $T = 2\pi/\omega$ زمن اهتزازة واحدة. يمكننا أن نرى بسهولة ماذا يحدث في حالتين حديتين:

- إذا كان تابع العازلة تخييليًّا صرفاً، فإن $j(t)$ مختلف بالتطور عن $E(t)$ ، وحاصل ضربهما مقدار سالب دومًا؛ في هذه الحالة، سيعطي التكامل الأخير قيمة غير صفرية ومن ثم الاستطاعة المتبددة في دورة واحدة تساوي:

$$\frac{1}{2} \epsilon_r \epsilon_0 \omega E_0^2.$$

- ولكن، إذا كان التابع ϵ_r حقيقيًّا صرفاً، سحصل انزياح طوري بمقدار $\pi/2$ بين $j(t)$ و $E(t)$ ، ومن ثم يتذبذب التابع الواقع تحت إشارة التكامل في المعادلة (22-9) حول الصفر، ويعطي التكامل القيمة $\bar{p} = 0$.
- ولذلك، نجد أن القسم التخييلي، η ، لتابع العازلة يُقيس درجة التبدل للاستطاعة في الجسم الصلب المدروسة. من الواضح أنها تكون أعلى ما يمكن عند تردد التجاوب حيث يأخذ المطال الاهتزازي أعلى قيمة؛ وهذا يؤدي إلى تحريض اهتزازات أخرى من خلال وجود حد الاحتكاك في المعادلة (10-9) وإلى تبدل استطاعة موافق لهذا التحريض.

⁴ نحن نتعامل مع كميات سلمية هنا، لأننا فرضنا أن $j(t)$ و $E(t)$ في الاتجاه ذاته، ولكن ليس بالضرورة مخاطفين بالتطور.

4-4-2 الانتقالات الإلكترونية

Electronic

لقد رأينا الآن كيف يستطيع الضوء تهيج فونونات بصرية، إذ يحدث ذلك من أجل ضوء تحت أحمر بطاقة فوتونية أقل بكثير من عرض الفجوة الطاقية، E_g ، ($h\nu \ll E_g$).

أما من أجل فونونات تحقق المترادحة $E_g > h\nu$ تُصبح التهيجات الإلكترونية عبر الفجوة الطاقية ممكناً، كما وجدنا عند مناقشة المواقع ذات الصلة بالخلايا الشمسية.

ما نقوم بوصفه هنا لا يقتصر على البلورات العازلة فقط، فهو محقق وعلى قدر المساواة من أجل أنصاف النواقل عندما $E_g > h\nu$ ، وال فكرة العامة يمكن تطبيقها أيضاً من أجل البلورات الفازية.

السؤال الذي يطرح هنا يكمن في كيفية تأثير بنية عصابات الطاقة لمادة على امتصاص الضوء، وفيما إذا كانت هناك تواترات ضوئية محددة، يكون الامتصاص من أجلها شديداً على وجه الخصوص؟.

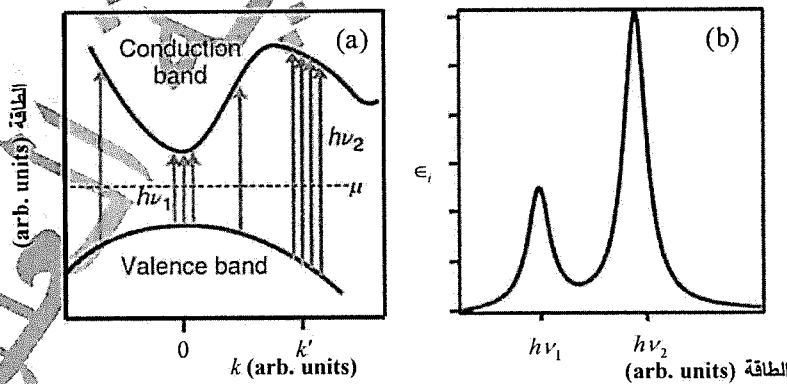
يمكن الإجابة على هذا السؤال في إطار تابع عازلية عددي قمنا به بالحصول عليه.

لقد فرضنا إلى الآن أنه من أجل ترددات أعلى من تردد الفونون البصري يوجد استقطاب إلكتروني فقط، وهو المفعول الذي يؤدي إلى حدين بصري ϵ_{opt} (في تابع العازلية) عالي التواتر. وكما نرى من الشكل (4-9)، يكون تابع العازلية الناتج عالي التواتر من الشكل $\epsilon = \epsilon_0 + i\omega$ ؛ غياب القسم التخيلي يفترض عدم إمكانية امتصاص أي طاقة؛ ومن أجل $E_g > h\nu$ ، يحتاج هذا المفهوم لإعادة نظر. يبدو أن $\epsilon = \epsilon_0 + i\omega$ ليس ثابتاً، بل يمتلك بعض التراكيب الواضحة المعالم (كالقسم) من أجل معظم المواد. وهذا واضح من المواد المختلفة الأولى، بما فيها الفلزات.

إن هذه التابعية الترددية $\epsilon = \epsilon_0 + i\omega$ في منطقه الضوء المرئي والأشعة فوق البنفسجية ناتجة من تهيج الإلكترونات من الحالات المشغولة إلى الحالات الشاغرة ولذلك نحن بحاجة لدراسة بنية عصابات الطاقة لمادة لكي نرى أي التهيجات ممكنة فعلياً؛ ولكن الفكرة الرئيسية مفهومة من الفيزياء الدرية.

فالذرات تمتلك سويات طاقة منفصلة وعندما يسمح لانتقال ما بالحدث بين سوية مشغولة وأخرى شاغرة وفق قواعد الاصطفاء البصري، سيؤدي ذلك إلى امتصاص شديد للضوء عندما تساوي طاقة الفوتون الفارق الطاقى بين هاتين السويتين.

ومن أجل الأجسام الصلبة، تتعرض سويات الطاقة الدرية لشكل عصابات طاقية، ولكن الامتصاص الشديد



الشكل (4-9): (a) مساهمات في القسم التخيلي $\epsilon = \epsilon_0 + i\omega$ بسبب انتقالات بين حالات مشغولة وحالات شاغرة. تشير الخطوط الرمادية الفاتحة لانتقالات الممكنة. كثافة مثل هذه الانتقالات مرتفعة عند $k = 0$ و $k = k'$ لأن VB و CB متوازيان هنا. (b) ينتج من الانتقالات الممكنة في بنية عصابة الطاقة هذه.

يحدث أيضاً من أجل طاقات فوتونية تسمح بانتقالات متعددة من حالات مشغولة إلى حالات شاغرة.

لدرس بنية عصابة طاقة مبسطة لغاز أو نصف ناقل، يوضحها الشكل (5a-9):

نفرض أن الكمون الكيميائي يقع في مكان ما بين عصابة التكافؤ (VB) وعصابة الناقلة (CB). يمكن أن يحدث امتصاص الفوتونات عندما $E_g > h\nu$ ، فيؤدي إلى تهيج إلكترونات من VB إلى CB. وكما وجدنا سابقاً يكون المتوجه الموجي من أجل الفوتونات التي طاقاتها تقع في المجال المرن أو فوق البنفسجي قصيراً جداً ولذلك يتوجب احتفاظ الاندفاع البلوري أن يبقى المتوجه الموجي للإلكترون، \bar{k} ، ثابتاً في ذلك الانتقال (رائد متوجه الشبكة المقلوبة). يشار للانتقالات الممكنة، المترسبة - فوتونياً، في الشكل (5a-9) بأسمهم فاتحة اللون.

توافق هذه الانتقالات امتصاص الطاقة من قبل الجسم الصلب، ورأينا أن مثل هذا الامتصاص يمكن أن يوصف بالقسم التخيلي لتابع العازلية، ϵ . ويمكننا أن نكتب من وحي النموذج البسيط العلاقة الآتية لتابع العازلية:

$$\epsilon(\omega) \propto \sum_{\bar{k}} M^2 \delta\left(\underbrace{E_C(\bar{k}) - E_V(\bar{k}) - h\nu}_{\Delta E}\right), \quad (24-9)$$

حيث يشمل المجموع كل قيم \bar{k} المسموحة في منطقة بريلوان الأولى،

و M عنصر مصفوفة يحدد احتمال الانتقال،

ويرمز δ لتابع دلتا - ديراك،

و $E_C(\bar{k})$ و $E_V(\bar{k})$ طاقتا تبدد عصابة الناقلة والتكافؤ على الترتيب.

❖ إذا صرفاً النظر عن عنصر المصفوفة، فإن العلاقة الأخيرة (24-9) تحسب عدد الانتقالات الممكنة من أجل طاقة $h\nu$ محددة.

❖ التابع δ يساوي الواحد فقط إذا كان الفارق الطaci $E_C(\bar{k}) - E_V(\bar{k})$ مساوً تماماً لـ $h\nu$.

❖ ولذلك، يمتلك تابع العازلية، $\epsilon(h\nu)$ ، قيمة قصوى عند قيم $h\nu$ التي من أجلها تكون الانتقالات المتعددة المختلفة بين VB و CB ممكنة.

والحالة في الشكل (5a-9) هي من أجل بداية الامتصاص عند الطاقة $E_g(\bar{k}) = 0$ أي $h\nu_1 = \bar{k}$ ، وحول $\bar{k}' = \bar{k}$ ، أي في منطقة بريلوان حيث يكون VB و CB موازيان لبعضهما البعض.

❖ بهذا الشكل، يمكن توقع القسم (القيمة القصوى) في ϵ عند الطاقتين $h\nu_1$ و $h\nu_2$ ، كما يوضح الشكل (5b-9)؛ وطالما أن هذه القسم تتوافق امتصاصاً شديداً، فإنها تحدد لون الجسم الصلب.

بهذا الشكل، يمكن مفتاح الامتصاص الشديد في أن حالات VB و CB تتبدل بشكل متواز في أجزاء كبيرة من منطقة بريلوان. من الواضح أن هذا الشرط متحقق من أجل عصابة مستوية جداً، تتبثق من حالات شديدة التوضع. ومن ثم، تذكرنا هذه الحالة بامتصاص الضوء بالانتقالات بين السويات الذرية.

5-9 المفعولات الفيزيائية الأخرى Other Effects

1-5-9 الشوائب في المواد العازلة Impurities in Dielectrics

إن إضافة كمية قليلة من الشوائب إلى المواد العازلة تؤثر بوضوح على خصائصها، بشكل مشابه جداً لحالة أنصاف النواقل. سنقيم هنا مثالين:

❖ الحالات الأكثر وضوحاً تكمن في **تغير الخصائص البصرية** التي يمكن أن تنتج من إضافة الشوائب؛

✓ فبسبب فجواتها الطاقية الكبيرة، معظم المواد العازلة تسعى لأن تكون شفافةً؛ مثل NaCl ، والألماس، والياقوت الأزرق **Sapphire**.

✓ وجود الشوائب في المادة التي تمتلك حالات إلكترونية داخل فجواتها الطاقية، يمكن أن تؤدي إلى تغيير حاد في **الخصائص البصرية**، لأن الانتقالات الآن من حالات الشوائب (أو إليها) ممكنة، وعندها سيندي، تجاوباً عند الطاقة الموقعة (راجع العلاقة (24-9)).

✓ وثمة أمثلة جيدة على هكذا حالات شوائب متوافرة في الياقوت؛ فتبعاً لنوع الشائبة، يمكن للياقوت أن يأخذ الواناً مختلفة (أو إثناء)، فعلى سبيل المثال:

◦ التوباز (الأصفر) (yellow), Topaz (yellow)

◦ أو الجمشيت (الأمفيتست) (الأرجواني) (purple), Amethyst (purple)

◦ أو الروبي (الأحمر) (red), Ruby (red)

◦ أو الزمرود (الأخضر) (green), Emerald (green)

◦ أو الياقوت (الأزرق) (blue), Sapphire (blue)

❖ يمكن استعمال الشوائب أيضاً لجعل العوازل ناقلة للتيار الكهربائي، بشكل مشابه تماماً لأنصاف النواقل المطعمة؛ إذ يجب أن تقع السويات المانحة أو الأخذة بالقرب من CB و VB ، على الترتيب، لجعل كثافة الإلكترونات والتقويب معقولةً، ومن ثم لزيادة الناقلة.

❖ والميزة المهمة التي تتزعم فيها المواد العازلة على مادة نصف ناقلة عاديّة تكمن في إمكانية استعمال المواد العازلة المشوبة في تطبيقات درجات الحرارة المرتفعة.

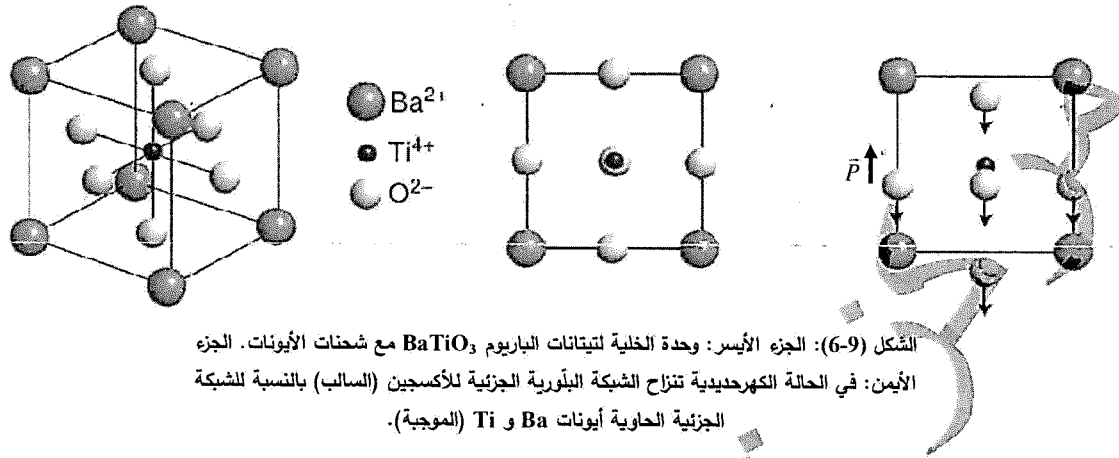
✓ ففي نصف ناقل ضيق الفجوة الطاقية، تُعد درجات الحرارة المرتفعة مشكلة، بسبب العدد المتزايد أسيّا للحاملات الذاتية؛

✓ أمّا في عازل مطعّم فلا وجود لهذه المشكلة في درجات الحرارة المناسبة عملياً.

2-5-9 الفرووكهربية Ferroelectricity

المواد الفرووكهربية هي أجسام صلبة تُبدي عزم (ثنائي - قطب) كهربائي تلقائي، شبيه جداً بالعزم المغناطيسي التلقائي في المواد الفروومغناطيسية (الفروومغناط Ferromagnets). وخلافاً لذلك، مصطلح "فرووكهربية" خادع تماماً، لأن مادة الفرووكهربية العاديّة لا تحوي حديداً، والآلية المؤدية إلى الاستقطاب يمكن أن تختلف كثيراً عن الفروومغناطيسية.

تُعد تيتانات الباريوم (Barium Titanate BaTiO_3) (الشكل (6-9)) فرووكهربائي نموذجي، يشتغل عزم (ثنائي - القطب) الكهربائي فيه من استقطاب أيوني:



- شبكة الأكسجين (المشحونة سلبياً) تنزاح بالنسبة لأيونات الباريوم Ba والتitanium Ti المشحونة إيجابياً في ظهر الاستقطاب الأيوني. وتكون خصوصية هذا الاستقطاب في أنه مستقر من دون حقل كهربائي خارجي.
- عند تطبيق حقل كهربائي خارجي، يمكن لاتجاهية استقطاب الفروكهربائي أن تتعكس تماماً، إضافةً إلى وجود دورة بطاء مشابهة جداً لدورة البطاء في المغناطيسية الحديدية (الفرومغناطيسية).

إن الفكرة الأساسية التي تقف خلف هذا المفعول الفروكهربائي تتمثل في الآتي:

لقد ناقشنا معادلة حركة أيونين موجودين في وحدة الخلية الواحدة، حيث نتج منها استقطاب أيوني باستخدام هرّاز توافقى بسيط بمثابة نموذج، راجع المعادلة (10-9).

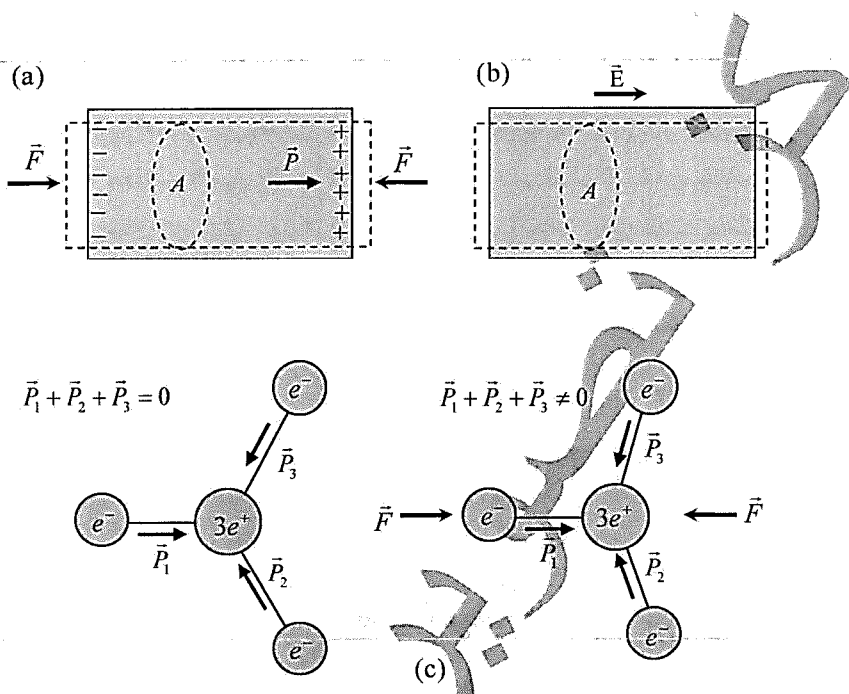
$$\frac{d^2x}{dt^2} + \eta \frac{dx}{dt} + \omega_0^2 x = \frac{eE_0}{M} \exp(-i\omega t).$$

وفي هذا الإطار درسنا حركة الأيونات الواقعة تحت تأثير الحقل الكهربائي الوسطي في الجسم الصلب. كان من الواجب استخدام الحقل الموضعي، ولكننا توصلنا إلى أن ذلك لن يغير من الأمر شيئاً. ولكن في حالة المواد الفروكهربية هذا التمييز مهم، لأنه إذا حرّكنا أيوناً عن موضع توازنه، بمقدور قوة الحقل الموضعي أن تجذبه أكثر إذا كانت أشد من قوة الإرجاع التوافقية. في نهاية المطاف، يتم بلوغ توازن القوى، ولكن بهذه الطريقة يحدث تشوه وينشأ (شائي - قطب) كهربائي دائم، وعند درجة حرارة معينة، تُصبح الترددات الحرارية قوية كفاية لكي تشوه حالة الفروكهربائي. وكما في حالة الفرومغناطيسية، تسمى درجة الحرارة هذه درجة حرارة كيوري؛ فمن أجل قيتانات الباريوم، تبلغ درجة حرارة كيوري نحو 130°C .

إن جوهر الفروكهربية يسمح لنا بفهم ثابت العازلية الكبير جداً لتيتانات الستروننيوم (SrTiO_3). تمتلك SrTiO_3 نفس البنية البلورية التي تمتلكها BaTiO_3 وعلى الأغلب هي فروكهربية، ولكن ليس تماماً (يمكن جعلها فروكهربية في الأفلام الرقيقة وتحت الإجهاد). تبقى تيتانات الستروننيوم قابلة للاستقطاب بسهولة كبيرة وتحت ثابت عازلية عالٍ. بهذا الشكل، يمكن أن يكون للمواد الواقعة على حافة الفروكهربية تطبيقات جديدة بالاهتمام، كعوازل بوابة في ترانزستورات مفعول الحقل من نوع (فاز - أكسيد - نصف ناقل) MOSFETs.

9-3 الكهرباغطية Piezoelectricity

الكهرباغطية هي مفعول يُطبق فيه إجهاد ميكانيكي على مادة يؤدي لاستقطاب كهربائي مايكروسكوبية. وهذا بدوره يؤدي إلى ظهور شحنات استقطاب سطحية محصلة، يمكن كشفها عن طريق قياس الجهد الكهربائي بين طرفي العينة، راجع الشكل (7a-9).



الشكل (7-9): (a) تعرّض مادة كهرباغطية لجهاد ميكانيكي يُسبب استقطاباً كهربائياً مايكروسكوبياً. (b) وبالعكس، تطبيق حقل كهربائي بين طرفي عينة يؤدي إلى إجهاد ميكانيكي. (c) هذا ناتج من تشوه الوحدات في البلورة. تظهر مثل هذه الوحدة على اليسار من دون حقل أو إجهاد مطبق. تتألف الوحدة من ثلاثة عزوم ثالثة-قطب الذي مجموعها يُمثل عزم ثانوي قطب كلّي يساوي الصفر. وعلى اليمين، يُطبق إجهاد، يُسبب تشوهها للوحدة فينتج عزم ثانوي قطب إجمالي مختلف عن الصفر.

والمفعول المعاكس موجود أيضاً؛ فتطبيق جهد كهربائي بين طرفي المادة، يؤدي إلى انفعال ميكانيكي مايكروسكوببي، راجع الشكل (7b-9).

يُظهر الشكل أيضاً تركيباً مجهرياً (وحدة ميكروسكوبية) محتملاً بقدوره أن يُسبب هذا المفعول:

- تحوي هذه الوحدة ثلاثة (ثنائيات-قطب) كهربائي، تصفّف بطريقة يساوي مجموعها عزم (ثنائي-قطب) إجمالي صفرأ.

إن تشوه الوحدة يؤدي إلى ظهور عزم (ثنائي-قطب) مجهرى إجمالي لا يساوي الصفر؛ في نهاية المطاف، ستتشوه الوحدة عند تطبيق حقل كهربائي.

تجدر الإشارة إلى أن المواد الكهرودينية تُدبى كهرباغطية ولكن العكس ليس بالضرورة صحيح، الخصوصية الكامنة خلف الفروحدية هي الاستقطاب الكهربائي التلقائي للجسم الصلب.

للمواد الكهرباغطية الكثير من التطبيقات؛ مثال ذلك،

- ✓ حساسات (كذلك الموجودة في الميكروفونات)،

✓ أو مصادر الجهد العالي (القداحة)،

✓ أو المشغلات الميكانيكية (مكibrات الصوت).

تُعدُّ المشغلات الميكانيكية التي قوامها بلورة انصباغية مهمةً من أجل النانوتكنولوجي على وجه الخصوص، لأنها تسمح بتحديد الموقع بدقة منقطعة النظير؛ فهي تُستخدم من أجل تحديد موقع رأس المجنح في مصوّرة العبور بالتفق الماسح STM على سبيل المثال.

9-5-4 انهيار العازلية Dielectric Breakdown

إذا كان الحقل الكهربائي المطبق بين طرفي عازل كبيراً جداً، فإنه سيبدأ بنقل تيار كهربائي. تُعرف هذه الظاهرة بانهيار العازلية. تكمن آلية حدوث الانهيار الكهربائي في أن بعضَ من الحاملات الحرّة (الناتجة من الشوائب مثلاً) يتسرّع في الحقل الكهربائي بشكلٍ كبير، إلى درجةٍ يمكنها تأمين (تشريد) ذرات أخرى فتولد حاملات حرّة أكثر، وعندما يبدأ انهيارها بشكلٍ مشابه "لانهيار الثلوج على السفوح". يمكن تسهيل الانهيار الكهربائي بجعل المادة تعمل تحت تأثير حقل كهربائي بتواءٍ تجاوٍ، حيث تتعدد كمية كبيرة من الطاقة، فتسخن المادة، وتزداد احتمالية توافر حاملات حرّة.